

大型变截面圆柱罐壁和罐底的应力分析

李 国 琛

(中国科学院力学研究所)

为合理设计大型溶液罐壁,需要计及各圈变截面罐壁之间的约束弯矩与剪力的作用。为此,计算应力时,应该联合各圈罐壁及罐底,协同分析。

1. 变截面圆柱罐壁

如图 1 所示,在第 i 圈中, L_i 、 L_{i-1} 是液压高度, M_i 、 M_{i-1} 是弯矩, Q_i 、 Q_{i-1} 是剪力, x_i 是从该圈底边量起的坐标高度。

利用圆柱壳体的边界效应方程*,不难导出挠度

$$\begin{aligned}
 w_i = & -\frac{\gamma R^2}{E h_i} (L_{i-1} - x_i) + \frac{e^{-\beta_i(l_i - x_i)}}{2D_i \beta_i^2} \left\{ \left[(A)M_{i-1} + (C) \frac{Q_{i-1}}{\beta_i} + (E)M_i + (G) \frac{Q_i}{\beta_i} \right] \right. \\
 & \times \cos \beta_i(l_i - x_i) + \left. \left[(B)M_{i-1} + (D) \frac{Q_{i-1}}{\beta_i} + (F)M_i + (H) \frac{Q_i}{\beta_i} \right] \sin \beta_i(l_i - x_i) \right\} \\
 & + \frac{e^{-\beta_i x_i}}{2D_i \beta_i^2} \left\{ \left[(E)M_{i-1} - (G) \frac{Q_{i-1}}{\beta_i} + (A)M_i - (C) \frac{Q_i}{\beta_i} \right] \cos \beta_i x_i + \left[(F)M_{i-1} - (H) \right. \right. \\
 & \times \left. \left. \frac{Q_{i-1}}{\beta_i} + (B)M_i - (D) \frac{Q_i}{\beta_i} \right] \sin \beta_i x_i \right\} \quad (1.1)
 \end{aligned}$$

其中下标 i 是指罐壁的圈数(自下往上数), R 是壳体半径, γ 为液体容重, E 、 ν 是弹性模量和泊松系数, h_i 是第 i 圈壁厚,

$$\beta_i = \sqrt[4]{\frac{3(1-\nu^2)}{R^2 h_i^2}}, \quad \alpha_i = \beta_i l_i, \quad D_i = \frac{E h_i^3}{12(1-\nu^2)}$$

又

$$(A) = [\text{sh}\alpha_i(\cos\alpha_i + \sin\alpha_i) + e^{\alpha_i} \sin\alpha_i]/S, \quad (B) = -[\text{ch}\alpha_i \sin\alpha_i + \text{sh}\alpha_i \cos\alpha_i]/S,$$

$$(C) = [e^{\alpha_i} \sin\alpha_i - \text{sh}\alpha_i \cos\alpha_i]/S,$$

$$(D) = -\text{sh}\alpha_i \sin\alpha_i/S,$$

$$(E) = -[\sin^2\alpha_i + \sin\alpha_i \cos\alpha_i + e^{\alpha_i} \text{sh}\alpha_i]/S,$$

$$(F) = [e^{\alpha_i} \text{sh}\alpha_i + \sin\alpha_i \cos\alpha_i - \sin^2\alpha_i]/S,$$

$$(G) = [e^{\alpha_i} \text{sh}\alpha_i - \sin\alpha_i \cos\alpha_i]/S,$$

$$(H) = -\sin^2\alpha_i/S, \quad S = 2(\text{sh}^2\alpha_i - \sin^2\alpha_i).$$

为确定各交界面处的未知力,可以利用变形连续条件:

续条件:

$$w_i \Big|_{x_i=l_i} = w_{i+1} \Big|_{x_{i+1}=0}, \quad \frac{dw_i}{dx_i} \Big|_{x_i=l_i} = \frac{dw_{i+1}}{dx_{i+1}} \Big|_{x_{i+1}=0} \quad (1.2)$$

于是,如有 n 圈罐壁,由(1.2)将导出 $n-1$ 个交界面上的 $2(n-1)$ 个方程,求出 $2(n-1)$ 个未知

* Timoshenko, S., Woinowsky-Krieger, S., Theory of Plates and shells, sec. edit. 1959, 468.

力 M_i 和 Q_i 。此时罐壁的最上端 $M_n = Q_n = 0$ ；又 M_0 、 Q_0 可根据下一段中环板的计算求出。

联立解出变截面罐壁交界面上的未知力。从而，由(1.1)及圆柱壳中熟知的算式，可求得各圈罐壁中的挠度、弯矩和中面力，然后计算内外壁的应力。

2. 底板与环板

罐底支承在弹性地基上。它的边缘是由一圈环板围成，与罐壁相接，其余的中间部分称作底板。环板要比底板厚。

由于地基的不均匀沉降和焊接工艺的影响，底板与环板的受力状态是比较复杂的。根据国内外实测的经验，可以归结为以下的受力模型：(1)底板内是无矩状态，径向力与环向力相等，即 $N_r = N_\theta = N$ ，其中 N 是常量。(2)在大型贮液罐中，可以假定环板是无限宽板。它的受力状态如图 2 所示。 F_1 是地基圈梁通过罐壁对环板提供的反力， M_0 是罐壁与环板间的约束弯矩。取弹性地基对环板的支承压力为直线分布，在 $x = l$ 处达到单位面积上的压力值为 p_2 。 l 是环板内受弯区域的宽度。

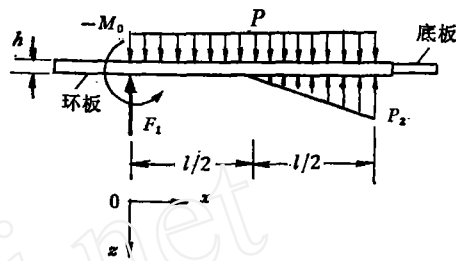


图 2 环板受力图

由力的平衡可以导出

$$p_2 = \frac{12}{5} \left(P - \frac{2M_0}{l^2} \right), \quad F_1 = \frac{1}{l} \left(M_0 + \frac{Pl^2}{2} - p_2 \frac{l^2}{24} \right) \quad (2.1)$$

为确定挠度 w (与 Z 坐标同向为正)，可以建立微分方程：

$$(1) \quad D \frac{d^2 w}{dx^2} = - \left[F_1 x - M_0 - \frac{Px^2}{2} \right] \quad \left(0 \leq x \leq \frac{l}{2} \right) \quad (2.2)$$

$$(2) \quad D \frac{d^2 w}{dx^2} = \left[P \frac{(l-x)^2}{2} - p_2 \left(\frac{x^3}{3l} - \frac{x^2}{2} + \frac{l^2}{6} \right) \right] \quad \left(\frac{l}{2} \leq x \leq l \right) \quad (2.3)$$

其中 $D = \frac{Eh^3}{12(1-\nu^2)}$ ， h 是环板厚度。求解时的边界条件是：(1)在 $x = l/2$ 处， w 及 $\frac{dw}{dx}$ 连续；

(2)在 $x = l$ 处， $\frac{dw}{dx} = 0$ 和 $w = \frac{p_2}{K}$ ， K 是弹性地基系数(可取为 4 kg/cm^3)。

应该说明，按以上求出的将是环板内相对的挠度变化，不是绝对量。为此可以令 $x = 0$ 处的挠度 $w = 0$ ，从而得到

$$M_0 = \left(\frac{47}{6} - \frac{960D}{Kl^4} \right) Pl^2 / \left(49 - \frac{1920D}{Kl^4} \right) \quad (2.4)$$

为确定 $N (= -Q_0)$ 和 l ，可以利用罐壁与环板间的位移连续条件，即

$$u|_{x=0} = -w_1|_{x_1=0}, \quad \frac{dw}{dx}|_{x=0} = \frac{dw_1}{dx_1}|_{x_1=0} \quad (2.5)$$

其中 $u|_{x=0} = \frac{N(1-\nu)R}{Et}$ (向圆心外为正)， t 为底板厚度。若忽略第 1 圈以上罐壁对环板的影响，则不难求出：

$$\left. \begin{aligned} w_1|_{x_1=0} &= \frac{R^2}{Eh_1} (2N\beta_1 - 2M_0\beta_1^2 - \gamma L_0) \\ \frac{dw_1}{dx_1}|_{x_1=0} &= \frac{R^2}{Eh_1} (4M_0\beta_1^2 - 2N\beta_1^2 + \gamma) \end{aligned} \right\} \quad (2.6)$$

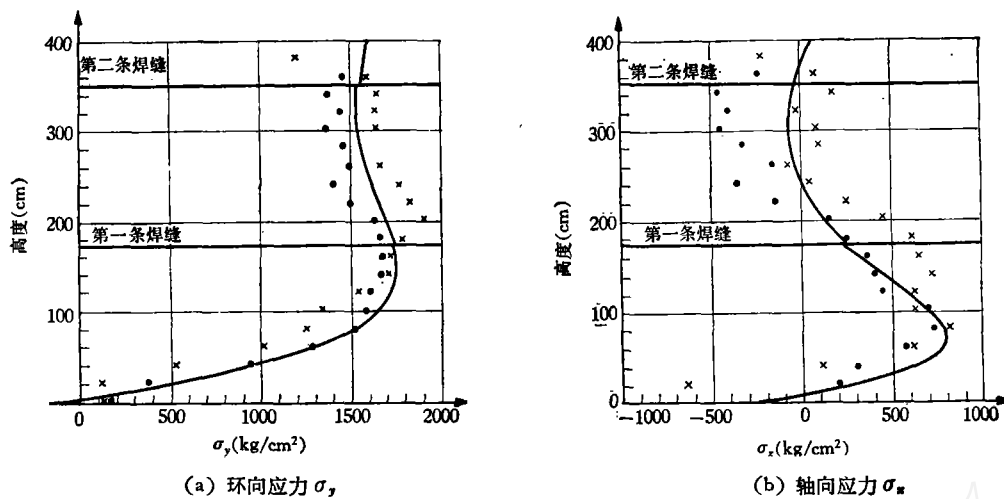


图3 罐外壁应力分布 ● 电测 × 机测 — 计算

于是由(2.2)中的解和(2.5)、(2.6),可以得到:

$$N = \frac{2M_0\beta_1^2 + \gamma L_0}{2\beta_1 + [h_1(1-\nu)/Rl]} \quad (2.7)$$

$$M_0 = \frac{\frac{11}{240} \left(\frac{h_1}{h}\right)^3 p l^3 + \frac{\gamma}{4\beta_1^2} \left(\frac{2\beta_1^2 I_0}{2\beta_1 + [h_1(1-\nu)/Rl]} - 1 \right)}{\frac{1}{\beta_1} - \frac{1}{2\beta_1 + [h_1(1-\nu)/Rl]} + \frac{17l}{40} \left(\frac{h_1}{h}\right)^3} \quad (2.8)$$

由(2.4)、(2.8)可以导出确定 l 的多项式方程

$$\frac{1}{49 - \frac{1920D}{Kl^4}} \left(\frac{47}{6} - \frac{960D}{Kl^4} \right) pl^2 - \frac{\frac{11}{240} \left(\frac{h_1}{h}\right)^3 p l^3 + \frac{\gamma}{4\beta_1^2} \left(\frac{2\beta_1^2 L_0}{2\beta_1 + [h_1(1-\nu)/Rl]} - 1 \right)}{\frac{1}{\beta_1} - \frac{1}{2\beta_1 + [h_1(1-\nu)/Rl]} + \frac{17l}{40} \left(\frac{h_1}{h}\right)^3} = 0 \quad (2.9)$$

求得 l 后,就可依次得到环板中的弯矩和应力。

3. 大型贮油罐的应力实测

罐壁内直径 60 m, 实验时充水高度 18.04 m, 水的容重为 $1 T/m^3$. 各层罐壁所用材料和尺寸

表1 $E = 2.1 \times 10^6 \text{kg/cm}^2, \nu = 0.3$

圈数	层高 (mm)	板厚 (mm)	材料
1	1780	32	16Mn
2	1780	30	16Mn
3	1780	26	16Mn
4	1780	24	16Mn
5	1780	20	16Mn
6	1780	18	16Mn
7	1780	14	16Mn
8	1780	12	16Mn
9	1780	10	16Mn
10	1780	10	A ₃
11	1225	10	A ₃

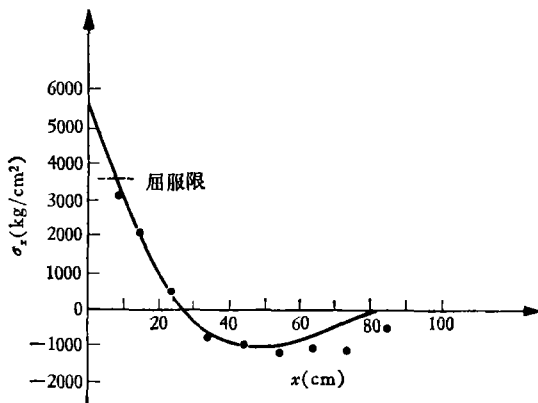


图4 环板 σ_θ 分布
● 实测 — 计算

如表 1 所示。环板材料是锰钢(屈服限 $\sigma_T = 3500 \text{ kg/cm}^2$, 厚度 12mm)。

测量应变主要是用电阻应变片作传感器的电测法。对于罐壁部分还附以机械式的千分表引伸仪,以校核电测法的可靠性。实测的应力分布(第一、二圈罐壁和环板)都列在图 3、图 4 中。考虑到水下测量和充水时间较长(约半月余)的不利影响,可以认为实测的结果与计算曲线相符良好。

实测工作是由同济大学、力学研究所、华东石油学院及原石油化学工业部炼油设计院等单位于 1975 年 6 月共同完成。

(1978 年 7 月 27 日收到)

几何非线性情况下的 J 积分探讨

江 秉 琛

(重 庆 大 学)

本文把现行 J 积分的定义及特性推广到几何非线性的情况,并就裂纹尖端钝化造成的几何非线性,对现行 J 积分方法的有效性的影响进行初步探讨。

几何非线性情况下的 J^* 积分 图 1 所示为理想弹性体,具有贯穿厚度的直线裂纹,在给定的边界力 $T^{*(d)}$ 及给定的边界位移 $u^{(d)}$ 的作用下,处于平衡的二维变形场中。

如果在该物体中作出一条光滑曲线 Γ ,它起始于裂纹下岸,沿逆时针方向环绕裂纹尖端而终止于裂纹上岸,则可定义如下曲线积分叫 J^* 积分:

$$J^* = \int_{\Gamma} (W^* n_k - T_m^* u_{m,k}) ds$$

其中, $W^* = \int \sigma_{ij}^* d\varepsilon_{ij}$ 是理想弹性体的应变能密度, σ_{ij}^* 是广义应力分量; $\varepsilon_{ij} = \frac{1}{2} (g_{mi} g_{mj} - \delta_{ij})$

是应变分量, $g_{mi} = \delta_{mi} + u_{m,i}$, $\delta_{mi} = \begin{cases} 0 & \text{当 } m \neq i \\ 1 & \text{当 } m = i \end{cases}$, $u_{m,i} = \partial u_m / \partial X_i$, u_m 是位移沿坐标 X_m 的

分量; $T_m^* = \sigma_{ij}^* g_{mi} n_j$ 是沿曲线 Γ 所作的截面上的广义拉力分量, n_j 是曲线 Γ 的外法线对坐标轴 X_j 的方向余弦; s 为曲线 Γ 的弧长; 而 $m, i, j, k = 1, 2$ 。

现在来证明 J^* 积分与积分路径无关。构成闭环路 $C = \Gamma_1 + bc - \Gamma_2 + da$ (见图 1),沿该环路求积分并利用格林公式得

$$\begin{aligned} \oint (W^* n_k - T_m^* u_{m,k}) ds &= \oint (W^* n_k - \sigma_{ij}^* g_{mi} n_j u_{m,k}) ds \\ &= \int_V [W^*_{,k} - (\sigma_{ij}^* g_{mi} u_{m,k})_{,i}] dV \\ &= \int_V \left[\frac{\partial W^*}{\partial \varepsilon_{ij}} \varepsilon_{ij,k} - (\sigma_{ij}^* g_{mi})_{,i} u_{m,k} - \sigma_{ij}^* g_{mi} u_{m,ki} \right] dV = 0 \end{aligned}$$

因为在 V 域内,满足无体力平衡方程 $(\sigma_{ij}^* g_{mi})_{,i} = 0$ 和无体力矩平衡条件 $\sigma_{ij}^* = \sigma_{ji}^*$; 再注意到裂纹岸上不受力,且裂纹沿 X_k 方向,则得